

مجله‌ی علمی، پژوهشی دانشگاه علوم پزشکی زنجان
دوره‌ی ۱۷، شماره‌ی ۶۸، پاییز ۱۳۸۸، صفحات ۹ تا ۲۰

حذف آرسنیک از آب آشامیدنی با استفاده از فن‌آوری اسمز معکوس

دکتر میترا غلامی^۱، حامد محمدی^۲، سید احمد مختاری^۳

GolamiM@Iums.ac.ir

نویسنده‌ی مسئول: تهران، دانشگاه علوم پزشکی ایران، دانشکده‌ی بهداشت، گروه مهندسی بهداشت محیط

دریافت: ۸۷/۶/۲۵ پذیرش: ۸۸/۵/۱۱

چکیده

زمینه و هدف: آلودگی ارسنیک در آب آشامیدنی باعث به اثرات زیان آور در سلامت انسان می‌گردد. هدف از این پژوهش، ارزیابی کارآیی فرآیند اسمز معکوس برای حذف ارسنیک در آب آشامیدنی، می‌باشد.

روش بررسی: روش انجام این پژوهش بر اساس داده‌های آزمایشگاهی و از نوع مطالعات تجربی بوده است. پژوهش در یک پایلوت غشایی اسمز معکوس از جنس پلی‌آمید با مدل مارپیچی مدل CSM ۲۵۲۱ TE ساخت شرکت CSM کرده انجام گرفت. پس از آماده سازی محلول ارسانات سدیم در آزمایشگاه، عملکرد سیستم اسمز معکوس در حذف آرسنیک، بررسی شد. تاثیر تغییرات فشار، pH و دمای مختلف با غلظت ورودی ۰/۲ میلی‌گرم در لیتر، و سپس در غلظت‌های مختلف روی کارایی حذف ارسنیک مورد ارزیابی قرار گرفت. در هر حالت میزان فلاکس عبوری (جریان عبوری در واحد سطح) از غشا اندازه گرفته شد. اندازه‌گیری مقدار ارسنیک به روش نقره دی‌اتیل دی‌تیوکاربامات انجام شد و در صد حذف آن تعیین گردید.

یافته‌ها: نتایج حاصل نمایان گر شرایط بهینه‌ی عملکرد سیستم در فشار حدود ۱۹۰ پوند بر اینچ مربع، غلظت در محدوده‌ی ۰/۰ تا ۰/۵ میلی‌گرم در لیتر، دما در محدوده‌ی ۲۵ تا ۳۰ درجه‌ی سانتی‌گراد و pH در محدوده‌ی ۶ تا ۸ می‌باشد. غلظت آرسنیک در آب از تاثیر چندانی در عملکرد سیستم و راندمان آن نداشت. افزایش دما موجب بهبود عملکرد سیستم و افزایش نسبی در راندمان آن شد. pH محلول ورودی تاثیر چندانی در فلاکس و عملکرد هیدرولیکی سیستم نداشت، لیکن راندمان حذف در pH های پایین به علت شکل یون‌های آرسنات موجود، نسبتاً کم بود.

نتیجه‌گیری: راندمان حذف آرسنیک در شرایط بهینه‌ی عملکرد سیستم، تا بیش از ۹۹ درصد می‌باشد.

وازگان کلیدی: حذف آرسنیک، تصفیه‌ی آب آشامیدنی، غشای صاف سازی اسمز معکوس (RO)

مقدمه

آرسنیک سومین عنصر گروه پنجم جدول تناوبی است. عدد اتمی آن ۳۳ و جرم اتمی آن ۷۴/۹۲ می‌باشد. این عنصر با ظرفیت‌های مختلف و نیز به صورت معدنی و آلی در طبیعت یافت می‌شود. میزان متوسط آرسنیک در پوسته‌ی

۱- دکترای تخصصی مهندسی بهداشت محیط، استادیار دانشگاه علوم پزشکی ایران

۲- کارشناس ارشد مهندسی بهداشت محیط، مریمی دانشگاه علوم پزشکی زنجان

۳- کارشناس ارشد مهندسی بهداشت محیط، معاونت بهداشتی دانشگاه علوم پزشکی تبریز

می شود (۱۰). روش های مختلفی برای حذف ارسنیک و دستیابی به حدود تعیین شده در آب آشامیدنی وجود دارد که از بین آن ها می توان به انعقاد، صاف سازی، سبک سازی با آهک، آلومینای فعال، تبادل یون، فرآیندهای غشایی اشاره نمود که هر کدام مزایا و معایب خود را دارند (۱۱). هدف از این پژوهش، استفاده از فرآیند غشایی اسمز معکوس برای حذف ارسنیک از آب آشامیدنی می باشد. به این منظور تاثیر پارامترهای مختلف، نظیر غلظت ارسنیک، فشار، pH و دمای آب و رویدی بررسی شده است.

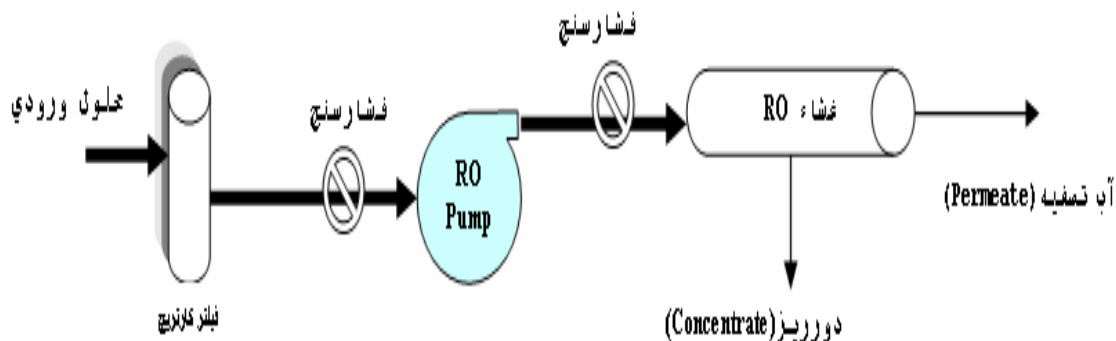
روش بررسی

روش انجام این پژوهش با توجه به ماهیت آن بر اساس داده های آزمایشگاهی و یک سیستم عملی و اجرایی از نوع مطالعات تجربی بوده است. روش آماری مورد استفاده به منظور تعیین تعداد نمونه ها، روش irregular fraction design از طریق نرم افزار Design Expert Ver.7.0.1 بوده است. بر اساس متغیرهای وابسته و مستقل و با در نظر گرفتن $a=0/0.5$ ، تعداد نمونه های مورد نیاز برای آنالیز آماری چند متغیره (فشار، دما، pH و غلظت) برابر با ۲۴ نمونه بوده است، آزمایشات در هر دوره (Run) به صورت سه تایی (Triple) انجام شده است. (در مجموع ۷۲ نمونه بررسی شده است). تست های آماری انجام شده، رگرسیون و همبستگی می باشد. در مرحله ای اول پایلوت غشایی طراحی و ساخته شد. غشای مورد استفاده غشای مارپیچی اسمز معکوس CSM (RO) (مدل TE ۲۵۲۱)، ساخت شرکت USEPA می باشد. این غشا اصطلاحاً TFC نامیده می شود و از جنس پلی آمید (PA) با شارژ منفی است. طول غشا ۲۱ اینچ، قطر آن ۲/۵ اینچ، قطر لوله‌ی تغذیه ۰/۷۵ اینچ، و سطح فعال و موثر آن ۱/۱ مترمربع است. میزان فلاکس عبوری اسمی غشا، معادل ۱/۱ مترمکعب در روز می باشد. دیگر اجزای اصلی پایلوت عبارت از غشای اسمز معکوس،

زمین ۱/۸ میلی‌گرم در کیلوگرم بوده، معمولاً به صورت ترکیب با گوگرد و یا فلزاتی نظیر مس، کبالت، سرب، روی، وغیره یافت می شود. از این عنصر در کشاورزی، دامداری، پزشکی، الکترونیک، صنعت و متالوژی استفاده می گردد (۱). ارسنیک از طریق حل شدن کانی ها و مواد معدنی، تخلیه‌ی پساب های صنعتی وارد منابع آب می گردد. آرسنیک یک ماده‌ی سمی، تجمعی و بازدارنده‌ی آنزیم های گروه SH است. نوع آلى آن از شکل معدنی آن بسیار سمی تراست. همچنین ارسنیک سه ظرفیتی [Arsenite] در اکثر اوقات سمی تر از نوع پنج ظرفیتی [Arsenate] آن می باشد (۲). آلدگی ارسنیک در آب، به خصوص آب های زیرزمینی، به دلیل سمیت و مخاطره آمیز بودن آن، به عنوان یک مشکل اساسی در جوامع مختلف مطرح است. در آب های طبیعی مقدار آن در حد ۱ تا ۲ میلی‌گرم در لیتر گزارش شده است (۳). مصرف طولانی مدت این عنصر سبب ایجاد سرطان می شود (۴). بر اساس تقسیم‌بندی سازمان بین المللی تحقیقات سرطان [International Association on Research (IARC)]، ترکیبات غیرآلی ارسنیک در گروه ۱ (سرطان‌زا برای انسان) قرار دارند (۵). این عنصر به عنوان آلاینده‌ی مهم آب آشامیدنی به ویژه در نواحی آسیای جنوبی شناخته شده است. در این نواحی میلیون‌ها نفر در خطر ابتلا به بیماری‌های مرتبط با ارسنیک می باشند (۶). USEPA حد مجاز ارسنیک را حدود ۵ تا ۱۰ میکروگرم در لیتر ذکر کرده است (۵و۷). رهنمود WHO برای ارسنیک ۰/۰۱ میلی‌گرم در لیتر می باشد (۸). در حالی که حداقل مجاز تعیین شده در استاندارد ایران ۵ میکروگرم در لیتر است (۹). به دلیل اینکه در آب های طبیعی حذف ارسنیت از ارسنات سخت تر است، بنابراین برای دستیابی به میزان بالای حذف از آب آشامیدنی، طی یک مرحله‌ی پیش تصفیه قبل از فرآیند اصلی حذف، ارسنیت به ارسنات اکسید شده، و سپس نسبت به حذف ارسنات اقدام

شماره‌ی ۱ دیاگرام جریان در پایلوت نشان داده شده است.

پمپ، الکتروموتور، بارومتر، مخزن آب ورودی و خروجی و فیلتر کارتیریج می‌باشد در شکل



شکل ۱- دیاگرام جریان در پایلوت

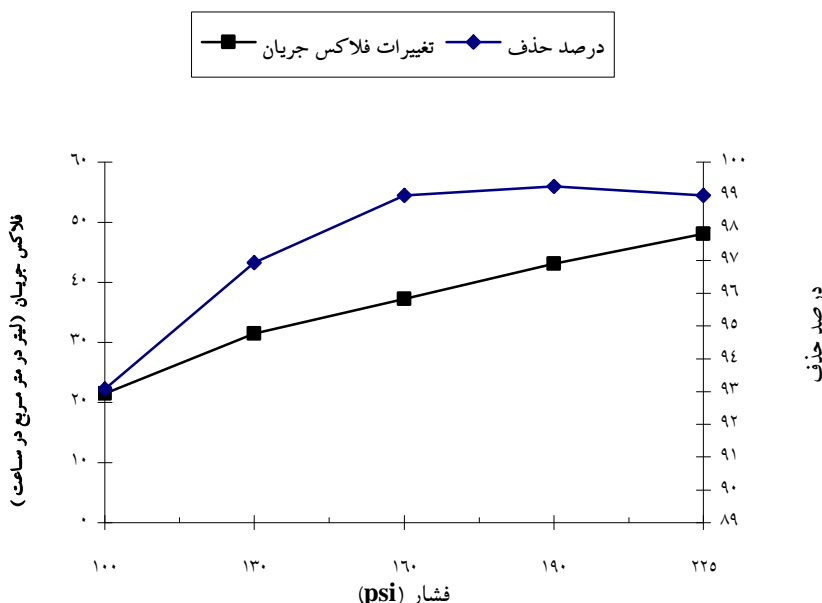
است که برای تعیین دبی ورودی از فلوتمتر استفاده شد. جهت محاسبه‌ی دبی خروجی، حجم مشخصی از جریان عبوری از غشا، در یک زمان مشخص توسط کورنومتر و استوانه‌ی مدرج اندازه‌گیری شد. راندمان سیستم، پس از تعیین غلظت محلول ورودی به غشا و غلظت خروجی محاسبه شد (۱۳). محلول ورودی با استفاده از آرسنات سدیم ($\text{Na}_2\text{HASO}_4 \cdot 7\text{H}_2\text{O}$) در مخزنی از جنس پلی‌اتیلن به حجم ۲۰۰ لیتر در غلظت‌های $0/2$ ، $0/5$ ، 1 ، $1/5$ و 2 میلی‌گرم در لیتر ارسنیک تهیه شد. روش اندازه‌گیری ارسنیک در نمونه‌های برداشتی از ورودی و خروجی، روش نقره دی اتیل دی تیوکاربامات می‌باشد (استاندارد متد AsB-۳۵۰۰). در تمام مراحل، میزان جذب در طول موج 520 نانومتر توسط اسپکتروفوتومترپرکین-المر دبل بیم VIS-UV-550S ساخت آمریکا، خوانده شد، و راندمان حذف ارسنیک در شرایط مختلف بدست آمد (۱۴). در مرحله‌ی آخر، نمودارهای مربوط به کارایی و فلاکس جریان نسبت به هر یک از شرایط فوق رسم گردید.

پس از نصب و راه اندازی پایلوت، ابتدا فلاکس آب مقطر در فشارهای مختلف تعیین گردید. سپس با توجه به غلظت ارسنیک در آب آشامیدنی مناطق آلوده‌ی کشور، غلظت $0/2$ میلی‌گرم در لیتر در نظر گرفته شد (۱۲) و از آب شهر، تهیه گردید. با ثابت نگه داشتن سایر پارامترها، میزان فلاکس عبوری از غشا و درصد حذف ارسنیک در فشارهای عملیاتی مختلف 100 ، 130 ، 160 و 190 پوند بر اینچ مربع (Psi) تعیین شد. در مرحله‌ی سوم، با تعیین فشار بهینه اندازه‌گیری شد. در کارایی حذف غشای 190 Psi، تاثیر غلظت، دما و pH در کارایی حذف غشای pH بررسی شده، و pH، غلظت و دمای بهینه تعیین گردید. مقادیر pH محلول‌های تهیه شده، با استفاده از سود و اسید کلریدریک در pH های 4 ، $5/5$ ، 7 ، $8/5$ و 10 تنظیم و ثبیت گردید. سایر پارامترها ثابت نگهداشته شدند. تغییرات دما با استفاده از هیتر ترموموکوپل دار و دماسنج در دماهای 20 ، 25 ، 30 و 40 درجه‌ی سانتی‌گراد تنظیم و ثبیت گردید. همچنین، با بدست آوردن دبی عبوری و با داشتن سطح فعال غشای ارائه شده توسط کارخانه‌ی سازنده، میزان فلاکس عبوری (Q/A) از غشا اندازه‌گیری شد. لازم به ذکر

غشا در حذف ارسنیک و همچنین فلاکس عبوری از غشا، با توجه به شرایط عملیاتی، آورده شده است. همان‌طوری که از نمودار مشخص است، با افزایش فشار، فلاکس جریان نیز افزایش می‌یابد. همچنین در فشار حدود ۱۹۰ تا ۲۱۰ پوند بر اینچ مربع، مانع حذف وجود دارد.

یافته‌ها

با توجه به آزمایشات انجام شده و نتایج به دست آمده، شرایط بهینه‌ی سیستم در محدوده‌ی فشار 190 psi ($a=0/01$)، غلظت $0/2$ میلی‌گرم در لیتر ($a=0/05$)، دما در محدوده‌ی 25 تا 30 درجه‌ی سانتی‌گراد، $pH = 6/9$ و $C_{As} = 0/2 \text{ mg/L}$ در محدوده‌ی 6 تا 8 بود. در نمودار ۱، تأثیر تغییرات فشار بر کارایی

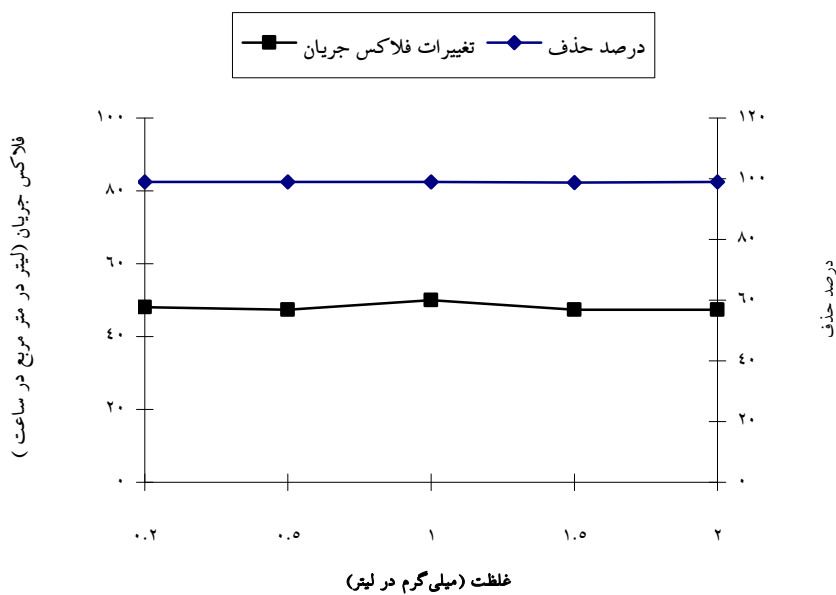


نمودار ۱: تغییرات فلاکس عبوری و راندمان حذف آرسنیک از محلول ورودی با تغییر فشار محلول ورودی توسط غشا ای اسمز معکوس

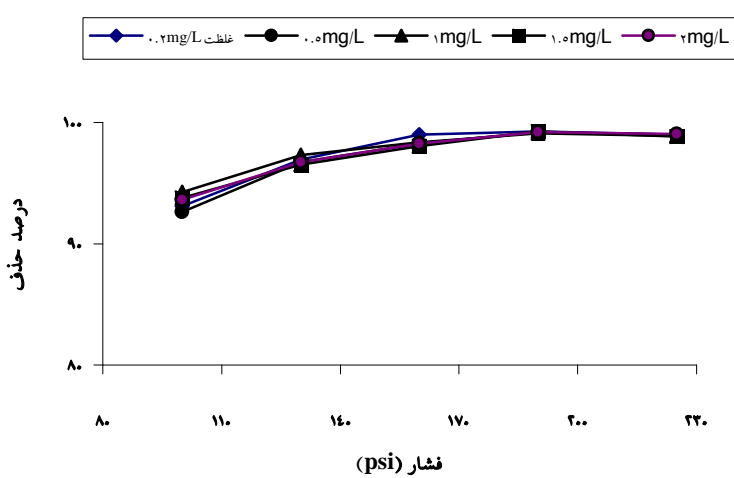
$$pH = 6/9 \quad T = 25^\circ C \quad C_{As} = 0/2 \text{ mg/L} \quad 2521 \text{ TE}$$

حذف آرسنیک ندارد، در محدوده‌ی غلظت‌های $0/5$ تا $0/2$ میلی‌گرم در لیتر، بهترین عملکرد سیستم را با توجه به استانداردهای موجود خواهیم داشت. همچنین در نمودار ۳ عملکرد غشا با تغییر فشار و غلظت در حذف ارسنیک آورده شده است.

تأثیر غلظت بر راندمان حذف و فلاکس جریان در فشار عملیاتی 190 psi ، دمای 25 درجه‌ی سانتی‌گراد و $pH = 6/9$ بررسی شد. با توجه به نمودار ۲، ملاحظه می‌شود که تغییرات غلظت آرسنیک در محلول ورودی تأثیر قابل ملاحظه‌ای در میزان فلاکس و راندمان



نمودار ۲: تغییرات فلاکس عبوری و راندمان حذف آرسنیک از محلول ورودی با تغییر غلظت محلول ورودی توسط غشای اسمز معکوس
 $\phi H = 6.9, T = 25^\circ C, P = 190 \text{ psi} (2521 \text{ TE})$



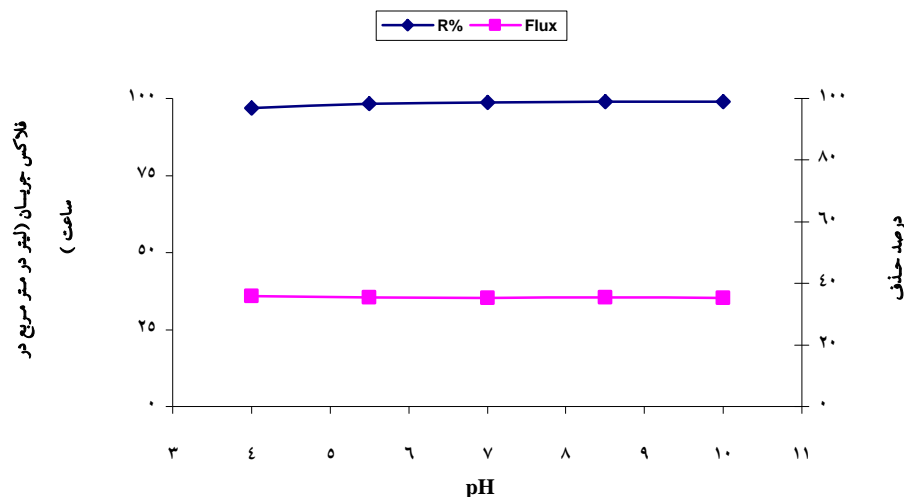
نمودار ۳: مقایسه راندمان حذف آرسنیک با تغییر فشار در غلظت‌های مختلف ورودی توسط غشای اسمز معکوس
 $\phi H = 6.9, T = 25^\circ C (2521 \text{ TE})$

به کار برد شد. با تغییر pH محلول ورودی تغییر چندانی در میزان فلاکس عبوری ایجاد نمی‌گردد، لیکن در محدوده pH

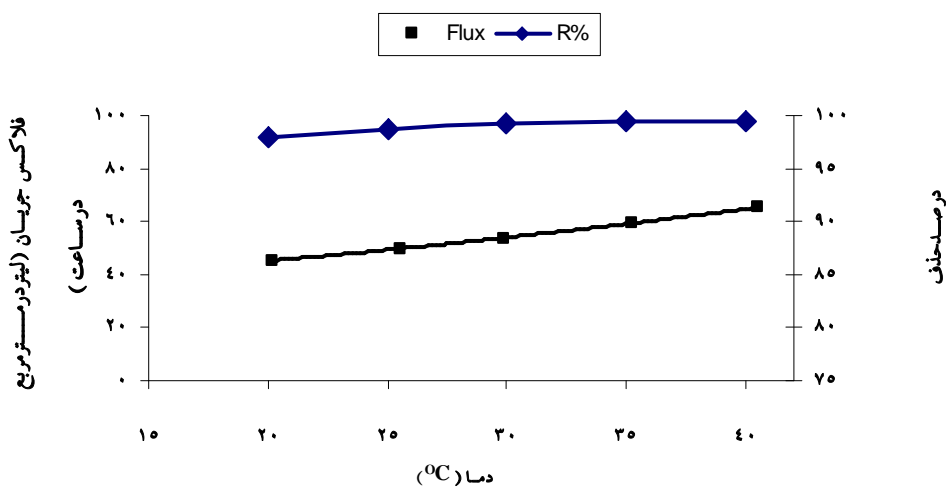
نمودار ۴ نشان دهنده تاثیر pH بر کارایی غشا جهت حذف آرسنیک می‌باشد. فشار عملکرد در هر حالت ۲۰۰ psi

تغییرات pH در محدوده‌ی بیان شده چندان قابل ملاحظه نیست، می‌توان نتیجه گرفت که pH تاثیر چندانی در راندمان حذف ندارد.

بین ۶/۵ تا ۶/۵ افزایش نسبی راندمان حذف را داریم و بعد از pH حدود ۶/۵ میزان حذف ثابت می‌ماند، و در محدوده‌ی ۶ تا ۸ حداقل راندمان را خواهد داشت. با توجه به اینکه



نمودار ۴: تغییرات راندمان حذف آرسنیک و فلاکس عبوری از غشای اسمز معکوس TE ۲۵۲۱، با تغییر $(T = ۲۰^{\circ}C \ P = ۲۰۰ \text{ psi} \ C_{As} = ۰/۲ \text{ mg/L})$ pH



نمودار ۵: تغییرات راندمان حذف آرسنیک و فلاکس عبوری از غشای RO با تغییر دمای محلول عبوری $pH = ۷ \ P = ۲۲۵ \text{ psi} \ C_{As} = ۰/۲ \text{ mg/L}$

فلاکس عبوری از غشای افزایش یافته و متعاقب آن راندمان حذف ارسنیک نیز افزایش خواهد یافت؛ به طوری که در

راندمان حذف ارسنیک با تغییرات دما در نمودار ۵ نشان داده شده است. با افزایش میزان دمای محلول ورودی، میزان

دکتر میترا غلامی و همکاران

(octadecylamine acetate) ODA اضافه شده است، نیز بررسی شده است، که نتایج نشان دهنده درصد حذفی به ترتیب برابر ۹۴، ۹۶ و ۸۰ درصد بوده است (۱۵). روش‌های الکترو اولترافیلتراسیون نیز به کار برده شده است که کارایی حذف برای ارسنات، بسیار بالا بوده، و ارسنیت نیز بعد از تنظیم pH، حذف شده است (۱۶). از سایر فرآیندهای با پایه‌ی غشایی نیز برای این منظور استفاده شده است (۱۷). به عنوان مثال از سیستم نانوفیلتراسیون با فشار پایین استفاده شده است که درصد حذف ارسنیک توسط آن ۹۴ درصد بدست آمده است (۱۸). برای آب آشامیدنی شهرها و صنایع، و همچین آب‌های سطحی و زیرزمینی هم از نانوفیلتراسیون استفاده شده، که راندمان قابل قبولی جهت حذف ارسنیک داشته است (۱۹).

عملکرد فرآیند نانوفیلتراسیون با صافی‌های ماسه‌ای تند نیز برای حذف ارسنیک بکار رفته است که نتایج نشان دهنده آن است که در غلظت زیر ۵۰ میکروگرم ارسنیک، بدون توجه به کدورت، این فرآیند قادر به کاهش آن تا حد رسیدن به ۹۵ درصد ارسنات و ۷۵ درصد ارسنیت را حذف کند، در حالی که صافی ماسه‌ای تند قادر به حذف ارسنیت نمی‌باشد (۸). از انواع دیگر نانوفیلتراسیون با قطر منافذ مختلف نیز استفاده شده است و در آن تغییرات pH، غلظت ارسنیک ورودی و حضور الکترولیت بررسی شده است. نتیجه‌ی به دست آمده نشان دهنده‌ی راندمان حذف بالای ۸۰ درصد است (۲۰). به منظور حذف ارسنیک، از غشاها رسانی (مونتموریلونیتو کائولینیت) استفاده شده، در آن توانایی این نوع غشا، برای حذف ارسنیک در غلظت‌های مختلف و قدرت یونی کترل شده با کلرید سدیم مورد ارزیابی قرار گرفته، راندمان به دست آمده، بیش از ۹۰ درصد بوده است (۲۱). غشا مورد استفاده دیگر جهت این منظور، مدلول غشایی ZW-1000 همراه با پیش تصفیه‌ی اکسیداسیون با پرمنگنات و انعقادبوده

محدوده‌ی دمایی ۳۰ تا ۲۵ درجه‌ی سانتی‌گراد حداً کثر راندمان حذف ملاحظه می‌شود.

بحث

ارسنیک از سمومی است که از دو راه طبیعی، و صنعتی وارد محیط زیست می‌گردد. در حال حاضر با توجه به استانداردها و رهنمودهای WHO و EPA و پائین‌آمدن مقادیر استاندارد توصیه شده به میزان ۱۰ میکروگرم در لیتر، سازمان‌های تامین کننده‌ی آب آشامیدنی مجبور به پیروی از رهنمودها و استانداردهای تعیین شده خواهند بود (۷، ۵، ۸). لذا با تکنولوژی‌های موجود دستیابی به این استانداردهای جدید تا حد زیادی مشکل خواهد بود. یکی از روش‌های نوین تصفیه‌ی آب که امروزه در اکثر نقاط دنیا رو به گسترش بوده قادر است حدود استانداردهای جدید تعیین شده را تامین نماید، استفاده از فرآیندهای غشائی می‌باشد که در این پژوهش مورد آزمایش و بررسی قرار گرفته است. نتایج حاصل از این تحقیق نشان دهنده‌ی آن است که فرآیندهای غشایی به خصوص اسمز معکوس، در حذف ارسنیک از آب آشامیدنی به طور قابل ملاحظه‌ای موثر است و راندمان حذف آن، در حدود ۹۵ تا ۹۹ درصد می‌باشد. مطالعات مختلفی روی این نوع غشا و انواع دیگر غشاها صاف‌سازی انجام شده است. برای حذف ارسنیک از آب آشامیدنی از غشا اولترافیلتر نیز استفاده شده است، که این نوع غشا، تحت شرایط آزمایشگاهی، تنها قادر به حذف حدود ۱۰ درصد ارسنیک بوده است که برای افزایش کارایی آن، از کیتوسان و ترکیبات اسیدهیومیک برای چیلاته شدن این فلز و در نتیجه بالا رفتن وزن مولکولی آن استفاده شده است، به این ترتیب، راندمان اولترافیلتر تا حدود ۶۵ درصد افزایش یافته است (۴). کارایی حذف ارسنات با استفاده از سیستم اولترافیلتراسیون که به آن انواع سورفکتانت‌های CPC (hexadecylpyridinium chloride) و CTAB (hexadecyltrimethylammonium bromide) و

افزایش غلظت، تاثیر زیادی بر میزان فلاکس نفوذی و راندمان حذف نداشت، و ثابت باقی می‌ماند (۱۳). همان‌طوری که در نمودار ۴ مشاهده می‌شود، pH تاثیر چندانی در راندمان حذف ندارد. تغییرات مختصر ملاحظه شده، مربوط به تغییر شکل آنیون‌های آرسنیک موجود در محلول و بار آنهاست. در محدوده pH ، ۱۰ تا ۴، یون‌های ۵ ظرفیتی آرسنات به اشکال H₂AsO₄⁻ و HAsO₄²⁻ می‌باشند. به طوری که تا pH ۶/۷ به شکل H₂AsO₄⁻ و بعد از آن به صورت HAsO₄²⁻ می‌باشد (۲۶). از طرفی با توجه به این که غشای RO مورد استفاده دارای شارژ منفی می‌باشد، لذا طبیعی است که در محدوده pH پایین‌تر از ۶/۷۷، نسبت به pH های بالاتر، به مقدار کمتری حذف گردد. در ضمن باید به این مسئله توجه داشت که میزان بار سطحی غشا، تابع جنس غشا و نیز pH و قدرت یونی محلول مجاور با غشا است. بیشترین میزان فلاکس نفوذی و نیز بیشترین میزان قدرت نگهدارندگی غشا را زمانی می‌توان انتظار داشت که بار الکتریکی سطح غشا با بار الکتریکی مولکول‌های حل شده همنام باشد (۱۳). در رابطه با تاثیر دما، با توجه به نمودار ۵، با افزایش دمای محلول ورودی به غشا در ابتدا میزان فلاکس عبوری افزایش می‌یابد. البته تغییرات فلاکس جریان تا محدوده‌ای ادامه می‌یابد، سپس منحنی به صورت خط افقی در می‌آید. به عبارتی جنس غشا، عامل محدود کننده‌ی تاثیر دما روی افزایش فلاکس می‌باشد. از طرف دیگر، افزایش دما به طور معمول باعث کاهش ویسکوزیتی سیال و افزایش نفوذپذیری می‌گردد و این امر به افزایش فلاکس نفوذی کمک می‌کند (۱۳ و ۲۵).

نتیجه‌گیری

با توجه به مطالعه‌ی حاضر می‌توان نتیجه‌گیری نمود که از بین غشاهای مختلف، اسمز معکوس بهترین راندمان را برای حذف ارسنیک دارا می‌باشد و راندمان حذف ارسنیک در

است که برای تصفیه‌ی آب چاه با میزان ارسنیک ۲۰۰ تا ۳۰۰ میکروگرم در لیتر استفاده شده است. با کمک این روش، میزان حذف به حد استانداردهای موجود رسیده است (۲۲). از روش‌های دیگر حذف ارسنیک، استفاده از روش انعقاد اصلاح شده با یون‌های آهن و کلسیت درشت دانه، و متعاقب آن حذف لخته توسط غشای میکروفیلتراسیون بود. با این روش سرعت تهشیق افزایش یافته، و راندمان حذف تا بیش از ۹۹ درصد افزایش می‌یابد (۲۳ و ۲۴). با توجه به نتایج به دست آمده در نمودار ۱، با افزایش فشار نمونه‌ی ورودی به غشا، میزان فلاکس جریان عبوری از سطح غشا، و همچنین درصد حذف ارسنیک افزایش می‌یابد (۰/۰۱، ۰/۰۷۸، ۰/۰۱). دلیل افزایش فلاکس با افزایش فشار، غلبه‌ی فشار اعمال شده بر فشار اسمزی محلول ورودی می‌باشد. همچنین دلیل افزایش میزان حذف با افزایش فشار، کاهش قطر منافذ سطح غشا به واسطه‌ی تجمع ارسنیک، نسبت به زمان است.

لازم به ذکر است که TDS آب ورودی هرچه بالاتر باشد، نیروی مولکولی بالایی را خواهد داشت و پیش از آن که مولکول‌های آن شروع به جدا شدن از آب نموده، و از مقطع غشا عبور کنند، این نیروهای مولکولی باید توسط فشار محلول ورودی شکسته شوند. هر ۱۰۰ میلی‌گرم در لیتر از TDS نیازمند ۱ psi فشار برای غلبه بر فشار اسمزی می‌باشد (۲۵). با توجه به نمودار ۲ و ۳، افزایش غلظت تاثیر چندانی در افزایش فلاکس جریان و درصد حذف ندارد (۰/۰۵، ۰/۰۷). از طرف دیگر، غلظت ورودی به طور معمول باعث کاهش فلاکس نفوذی در فرآیند صافسازی غشا می‌گردد و در برخی موارد رفتار تغییرات فلاکس با غلظت همانند پیش‌بینی‌های اغلب مدل‌های پلاریزاسیون غلظتی به صورت لگاریتمی می‌باشد. به عبارت دیگر، بین فلاکس و لگاریتم غلظت ورودی رابطه‌ی خطی مشاهده می‌شود. چنین رابطه‌ای عمده‌ای در شرایطی حاصل می‌گردد که سرعت جریان ورودی از روی سطح غشا نسبتاً کم باشد. در سرعت‌های زیاد

خدمات بهداشتی- درمانی ایران انجام گردیده است که به این وسیله، نویسنده‌گان مقاله، مراتب تقدیر و تشکر خود را از مسئولین آن مرکز و کلیه‌ی پرسنل محترم آزمایشگاه آب و فاضلاب دانشکده‌ی بهداشت ابراز می‌دارند.

شرایط بهینه‌ی عملکرد سیستم (فشار ۱۹۰ psi، دمای ۲۵ درجه‌ی سانتی‌گراد و pH ۶/۹) تا بیش از ۹۹ درصد می‌باشد.

تشکر و قدردانی

این پژوهش با حمایت مالی دانشگاه علوم پزشکی و

منابع

- 1- WHO. Guidelines for drinking water quality, recommendations. *WHO*. 2004; 306-8.
- 2- WHO, Environmental Health Criteria, arsenic and arsenic compounds. *WHO*. 2001.
- 3- Choong TSY, Chuah TG, Robiah Y, Koay FLG, Azni I. Arsenic toxicity, health hazards and removal techniques from water: an overview. *Desalination*. 2007; 217: 139-66.
- 4- Lin CF, Wu CH, Lai HT. Dissolved organic matter and arsenic removal with coupled chitosan/UF operation. *Separation and Purification Technology*. 2008; 60: 292-98.
- 5- Shih MC. An overview of arsenic removal by pressure-driven membrane processes. *Desalination*. 2005; 172: 85-97.
- 6- Garelick H, Dybowska A, Valsami-Jones E, Priest ND. Remediation technologies for arsenic contaminated drinking waters. *J Soils Sediments*. 2005; 5: 182-90.
- 7- Brandhuber P, Amy G. Alternative methods for membrane filtration of arsenic from drinking water. *Desalination*. 1998; 117: 1-10.
- 8- Sato Y, Kang M, Kamei T, Magara Y.

Performance of nanofiltration for arsenic removal.

Water Res. 2002; 36: 3371-7.

9- Institute of Standards and Industrial Research of Iran, Physical and chemical characteristic of drinking water. Iran: Institute of Standards and Industrial Research Pub; 1997.

10- Bissen M, Frimmel FH. Arsenic—a review. Part II: Oxidation of arsenic and its removal in water treatment. *Acta Hydrochimica Et Hydrobiologica*. 2003; 31: 97-107.

11- Kartinen EO, Martin JC. An overview of arsenic removal processes. *Desalination*. 1995; 103: 79-88.

12- Mosaferi M. Arsenic present in Kurdistan province drinking water [dissertation], Tehran: Tehran University of Medical Sciences; 2002.

13- Gholami M, Nasseri S, Alizadeh-Fard M, Matssura T, Feng C, Kulbi M. Textile dye removal by membrane technology and biological oxidation. *Water Qual Res J Canada*. 2003; 38: 379-91.

14- APHA, AWWA, WPCF. Standard Methods for Water and Wastewater Examination. 2001.

15- Iqbal J, Kim HJ, Yang JS, Baek K, Yang JW.

- Removal of arsenic from groundwater by micellar-enhanced ultrafiltration (MEUF). *Chemosphere*. 2007; 66: 970-6.
- 16- Weng YH, Chaung-Hsieh LH, Lee HH, Li KC, Huang CP. Removal of arsenic and humic substances (HSs) by electro-ultrafiltration (EUF). *J Hazardous Materials*. 2005; 122: 171-6.
- 17- Volchek K. New membrane-based processes remove arsenic from water: Aquatic Arsenic Toxicity And Treatment. Ottawa: Backhuys Pub; 2003.
- 18- Nguyen TV, Vigneswaran S, Ngo HH, Pokhrel D, Viraraghavan T. Specific treatment technologies for removing arsenic from water. *Eng Life Sci*. 2006; 6: 86-90.
- 19- Van der Bruggen B, Vandecasteele C. Removal of pollutants from surface water and groundwater by nanofiltration: overview of possible applications in the drinking water industry. *Environ Pollut*. 2003; 122: 435-45.
- 20- Vrijenhoek EM, Waypa JJ. Arsenic removal from drinking water by a "loose" nanofiltration membrane. *Desalination*. 2000; 130: 265-77.
- 21- Fang J, Deng BL, Whitworth TM. Arsenic removal from drinking water using clay membranes. Advances In Arsenic Research Book Series. *ACS Symp Ser Am Chem Soc*. 2005; 915: 294-305.
- 22- Floch J, Hideg M. Application of ZW-1000 membranes for arsenic removal from water sources. *Desalination*. 2004; 162: 75-83.
- 23- Song S, Lopez-Valdivieso A, Hernandez-Campos DJ, Peng C, Monroy-Fernandez MG, Razo-Soto I. Arsenic removal from high-arsenic water by enhanced coagulation with ferric ions and coarse calcite. *Water Res*. 2006; 40: 364-72.
- 24- Hana B, Runnellsb T, Zimbronb T, Wickramasinghe R. Arsenic removal from drinking water by flocculation and microfiltration. *Desalination*. 2002; 145: 293-98.
- 25- Takashi A. Wastewater reclamation and reuse. India: Technomic Pub Co; 1998.
- 26- Kang M, Kawasaki M, Tamada S, Kamei T, Magara T. Effect of pH on the removal of arsenic and antimony using reverse osmosis membranes. *Desalination*. 2000; 131: 293-8.

Application of Reverse Osmosis Technology for Arsenic Removal from Drinking Water

Golami M¹, Mohammadi H², Mokhtari SA³

¹Faculty of Public Health, Iran University of Medical Sciences, Tehran, Iran.

²Faculty of Health, Zanjan University of Medical Sciences, Zanjan, Iran.

³Health Deputy, Tabriz University of Medical Sciences, Tabriz, Iran.

Corresponding Author: Golami M, Faculty of Public health, Iran University of Medical Sciences, Tehran, Iran.

E-mail: GolamiM@Iums.ac.ir

Received: 15 Sep 2008 **Accepted:** 2 Aug 2009

Background and Objective: Arsenic (As) is a highly toxic metalloid found in ground and surface waters. Arsenic contamination in drinking water leads to harmful effects on human health. In this study, the efficacy of Reverse Osmosis (RO) membrane technology was evaluated for arsenic removal from drinking water.

Materials and Methods: This experimental study was carried out on RO membrane spiral-wound module (model: 2521 TE, CSM Co. Korea) in pilot scale. After preparation of sodium arsenite solution in the laboratory, performance of RO membrane system in arsenic (As) removal was investigated. Experiments were conducted with five different pressures (100, 130, 160, 190, 210 Psi), pH (4, 5.5, 7, 8.5, 10), temperature (20, 25, 30, 35, 40°C) and an initial As concentration of 0.2 mg/L. The influence of different feed concentrations (0.2, 0.5, 1, 1.5, 2 mg/L) on As removal efficiency was also examined. In each step, flux was measured and after 30 minutes samples were taken. Arsenic amount in feed and permeate were measured by silver diethyldithiocarbamate (Ag-DDTC) method.

Results: The results of this study demonstrated that greater than 90% of As can be eliminated from drinking water. Also the results showed that the pressure of 190 psi, As concentration of 0.2-0.5mg/L, temperature of 25-30°C and pH = 6-8 were the optimal conditions.

Conclusion: Arsenic removal efficiency in optimal conditions of system performance was up to 99%.

Key words: Arsenic removal, Drinking water treatment, Reverse osmosis membrane filtration